

**RULLI FOLLI GRAFFATI**

Rulli d'acciaio montati su cuscinetti radiali a sfere prelubrificati e protetti. Il mantello è composto da tubo a spessore costante e testate porta cuscinetti graffati solidalmente a pressione.

Essi sono impiegati nei trasportatori a gravità con carichi leggeri ed in buone condizioni ambientali.

Altre forme di fissaggio e finitura vedere pagg. 21 e 12-17.

**CLAMPED IDLERS**

Steel rollers mounted on pre-greased and protected radial ball-bearings.

The roller shell consists of tube with an even thickness and bearing-holder heads clamped integrally by pressure.

These are employed in gravity conveyors with light loads and in good environmental conditions.

For other fastening methods and finishes refer to pages 21 and 12-17.

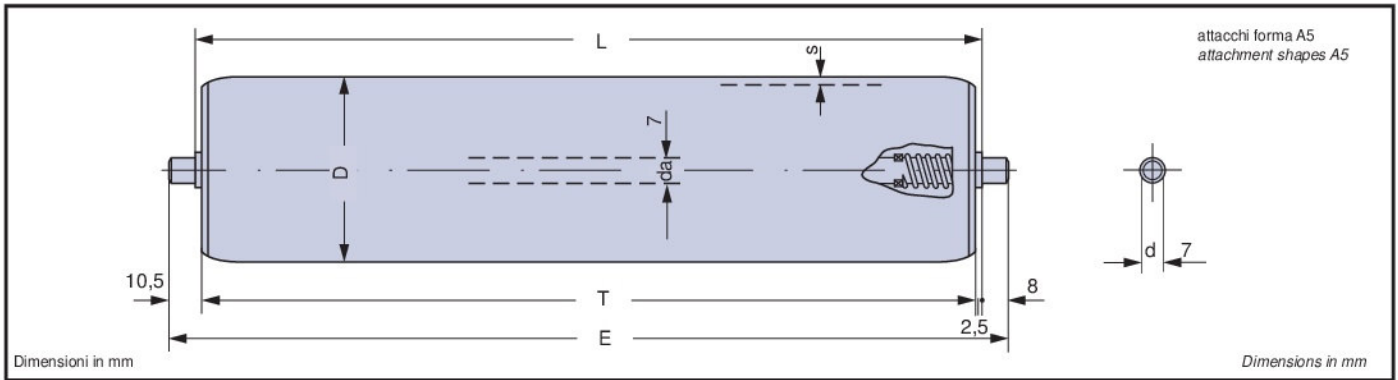


Tabella 13 **RULLI BASE SERIE 7.0 BASIC SERIES 7.0** Table 13

Tipo type	D	s	T	E	cuscinetto bearing	L		peso totale rullo kg total roller weight kg		peso parti rotanti kg weight of rotary parts kg		carico max. Cs load max. Cs n = 5 [t/min]
						min.	max.	L=200	oltre, al cm plus per cm	L=200	oltre, al cm plus per cm	
7.0.07	24	1,2	L-5	L+16	radiale radial	50	1200	0,232	0,0097	0,154	0,0067	daN 42
7.0.2	30							0,276	0,0116	0,201	0,0085	
7.0.3	32	0,340						0,0142	0,272	0,0113		
7.0.6	40	0,411						0,0172	0,334	0,0142		
7.0.7	48	0,515						0,0830	0,447	0,0172		
7.0.8	50	0,527						0,0209	0,450	0,0179		

Tabella 14 **Cd carico dinamico dei rulli in funzione della velocità del trasportatore roller dynamic loads according to conveyor speed** Table 14

v = m/s velocità del trasportatore conveyor speed									
v	0,02	0,10	0,15	0,20	0,25	0,50	0,75	1,00	
D	Cd = daN ≈ kgf								
24	27	11	9	7	6	4			
30	31	13	10	8	7	5	4		
32	32	14	11	9	8	5	4		
40	34	15	12	10	9	6	5	4	
48	36	18	14	11	9	6	5	4	
50	37	19	15	12	10	7	6	5	

Tabella 15 **Kr coefficiente di riduzione del carico Cd, Cs in funzione della lunghezza dei rulli de-rating coefficient of load Cd, Cs according to roller length** Table 15

Lunghezza length L=mm	300	400	500	600	700	800	900	1000
Kr	1	1	1	0,990	0,976	0,951	0,911	0,852